

НЕЙТРОНОГРАФИЧЕСКИЕ ИССЛЕДОВАНИЯ СТРУКТУРЫ КЕРАМИКИ Y–Ba–Cu–O–Cl

Ю.А.Осипьян, Э.Л.Бохенков, И.В.Голосовский,
О.В.Жариков, А.В.Крашенинников, С.А.Кузнецов,
Р.К.Николаев, В.П.Плахтий, Е.Г.Понятовский,
В.И.Рашупкин, Н.С.Сидоров, А.Е.Совестнов,
Э.И.Федорова, В.П.Харченков

В двух исследованных образцах керамики, ставшей сверхпроводящей после хлорирования, обнаружено наличие трех фаз – аморфной и двух кристаллических. Установлен факт внедрения атомов хлора в элементарную ячейку. Показано, что атомы хлора статистически замещают атомы кислорода, а не занимают свободные позиции, как кислород.

В работе¹ сообщалось о том, что после термической обработки в атмосфере газообразного хлора образцов тетрагональной керамики, близких по составу к $\text{YBa}_2\text{Cu}_3\text{O}_{6,1}$, обнаруживается диамагнитный отклик с началом при $T_{c0} \approx 90$ К. В настоящем сообщении мы приводим результаты структурных исследований хлорированных образцов, выполненных методом дифракции нейтронов. Эта методика особенно удачна для определения структурных позиций атомов хлора в элементарной ячейке, так как амплитуда рассеяния нейтронов на его ядре в 1,65 раз больше, чем на ядре кислорода, и превышает амплитуду рассеяния на ядрах иттрия, бария и меди. Измерения проводились на 48-счетчиковом дифрактометре ЛИЯФ² при длине волны нейтронов $\lambda = 1,384$ Å. Полученные нейтронограммы обрабатывались по методу Ритвельда³ с использованием программы про-

фильного анализа ⁴, позволяющей уточнять структуры трех различных кристаллических фаз, одновременно присутствующих в образце. Переход в сверхпроводящее состояние контролировался по магнитной восприимчивости, измерявшейся индуктивным методом (частота поля 111 Гц, амплитуда 0,5 Гс) экспрессно в процессе выбора режима хлорирования на небольших образцах. Образцы, предназначенные для нейтронографических измерений, проверялись на установке, позволяющей измерять параметры сверхпроводящего перехода на макроскопических образцах объемом до 250 мм³.

В исходных, синтезированных и отожженных в атмосфере кислорода, образцах ромбической керамики состава $\text{YBa}_2\text{Cu}_3\text{O}_{6,95}$ сверхпроводящий переход начинался при $T_c = 93 - 94$ К и имел ширину $\Delta T_c = 4 - 5$ К. После высокотемпературного отжига в вакууме содержание кислорода уменьшалось до $\text{O}_{6,15}$. структура соединения становилась тетрагональной, и переход в сверхпроводящее состояние не наблюдался вплоть до 0,35 К. Результаты нейтронографических исследований ромбической (O_7) и тетрагональной (O_6) фаз приведены в колонках 1 и 4 таблицы. В процессе уточнения структур, кроме параметров элементарной ячейки, координат атомов и изотропных температурных факторов, варьировались гаселенности n_i атомами кислорода всех возможных позиций в ромбической и тетрагональной фазах. (Б тетрагональной фазе позиции (2) – (3), так же, как и (4) – (5), эквивалентны). Полученные параметры находятся в хорошем согласии с многочисленными литературными данными.

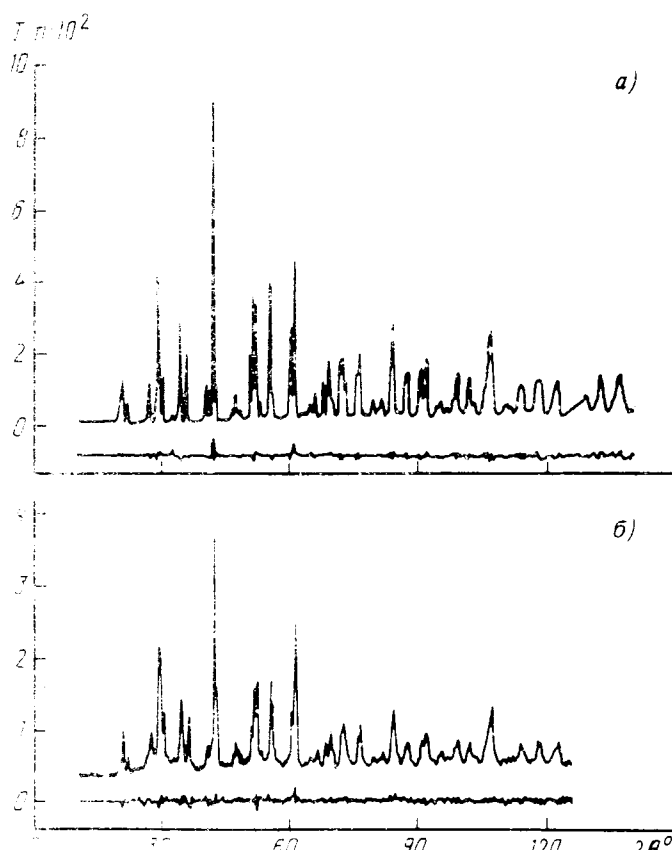


Рис. 1. а) Нейтронограммы образца исходной тетрагональной фазы $\text{YBa}_2\text{Cu}_3\text{O}_{6,15}$, наблюдаемая и разностная (наблюдаемая минус расчетная). б) Нейтронограммы хлорированного образца

Керамика O_6 помещалась в вакуумированную систему, где подвергалась обработке чистым газообразным хлором в интервале температур от 150 до 170°С в течение 0,5 – 3 часов. Нейтронографически исследовались два образца.

$I, \text{с} \cdot 10^{-3}$

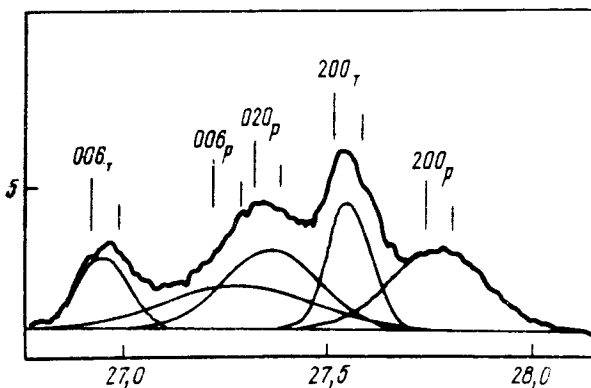


Рис. 2. Участок рентгенограммы хлорированного образца и его разложение на 5 дублетов

На нейтронограммах обоих образцов, одна из которых приведена на рис. 1б в сравнении с нейтронограммой O_6 (рис. 1а), не было замечено каких-либо сверхструктурных отражений. Дифракционные пики уширены и располагаются на модулированном фоне, свидетельствующем о значительном содержании аморфной фазы. На рис. 2 приведен участок рентгенограммы, полученной на излучении Со K_{α_1, α_2} , разложение которого на составляющие свидетельствует о наличии сильноразупорядоченной ромбической фазы (отражения $(020)_p$, $(200)_p$, $(006)_p$) и фазы, скорее всего являющейся тетрагональной. На начальном этапе уточнение структуры обеих фаз проводилось в рамках пространственной группы Pmm (тетрагональная группа $P4/mmm$ является частным случаем). Как и прежде, варьировались заселенности всех позиций (1) – (6), причем в структурный фактор подставлялась амплитуда рассеяния кислорода. Признаком появления хлора в n_i -позиции считалось значение $n_i > 1$. В случае $n_i < 1$ одни нейтронные данные не дают ответа на вопрос, какой атом (кислород или хлор) находится в этой позиции.

На этом этапе уточнения было замечено, что заселенность позиции (3) для фазы, близкой к тетрагональной, превосходит единицу более чем на 7 стандартных отклонений. Кроме того, разность координат для позиций (2) и (3) составляла 0,024₁, что существенно больше, чем 0,0006₄ в случае O_6 . (В тетрагональной фазе O_6 эта разность точно равна нулю). Все это несомненно свидетельствует о входении хлора в позицию (3). В то же время разность параметров ячейки a и b для этой фазы не превышала 0,003 Å. Поэтому было сделано предположение, что эта фаза действительно является тетрагональной, а каждая из эквивалентных в этом случае позиций (2) и (3) расщепляется на две неэквивалентные, одну из которых занимают атомы кислорода, а другую – хлора. Такое предположение представляется разумным, так как при статистическом замещении атомов кислорода, находящихся между двумя атомами Cu(2) на каждой грани тетрагональной ячейки, атомы хлора могут “выталкиваться” из-за различия радиусов. При этом средние координаты хлора и кислорода оказываются различными.

Дальнейшее уточнение проводилось для одной фазы по-прежнему в рамках ромбической группы Pmm , а для другой – тетрагональной $P4/mmm$ с двумя неэквивалентными четырехкратными позициями (2) и (3). Независимое варьирование заселенности кислородом позиции (2) и хлором позиции (3) показало, что $n_2 + n_3 = 1,03_{\pm 1}$. Поэтому при расчете окончательного варианта суммарная заселенность этих позиций была принята равной единице. В катионной подрешетке варьировались только координаты Cu(2) и Ba; заселенности позиций атомами всех металлов были фиксированы $n_{Me} = 1$.

В связи с тем, что параметры элементарной ячейки тетрагональной фазы хлорированных образцов оказались близкими к параметрам O_6 , необходимо было проверить, замещаются ли атомы кислорода на атомы хлора статистически, или образуются две различные фазы — хлорная и остаточная O_6 . Трехфазное уточнение структуры при фиксированных параметрах фазы O_6 привело к нефизичным результатам при ухудшении χ^2 в 1,5 раза.

Окончательные результаты уточнения в рамках применяемой модели приведены в таблице (колонка II для ромбической фазы и III для тетрагональной фазы). Они сводятся к следующему.

**Результаты уточнения структуры $YBa_2Cu_3O_{6,95} - (O_7)$,
 $YBa_2Cu_3O_{6,1} - (O_6)$ и образца Y-Ba-Cu-O-Cl**

| | O_7 | Ромбическая | Тетрагональная | O_6 |
|--------------------|------------|-------------|------------------------|------------|
| a (Å) | 3,8245 (3) | 3,8309 (7) | 3,8622 (3) | 3,8580 (3) |
| b (Å) | 3,8888 (3) | 3,8820 (7) | 3,8622 (3) | 3,8580 (3) |
| c (Å) | 11,688 (1) | 11,647 (4) | 11,831 (2) | 11,819 (1) |
| $Ba (0,5; 0,5; z)$ | 0,1844 (3) | 0,170 (2) | 0,1957 (9) | 0,1948 (2) |
| $Cu(2) (0; 0; z)$ | 0,3547 (2) | 0,351 (1) | 0,3624 (8) | 0,3602 (2) |
| $O(1) (0; 0; z)$ | 0,1586 (3) | 0,159 (2) | 0,149 (1) | 0,1520 (3) |
| n_1 | 0,99 (2) | 1 | 1,02 (2) | 0,98 (1) |
| $O(2) (0,5; 0; z)$ | 0,3778 (3) | 0,370 (2) | 0,368 (2) | 0,3795 (2) |
| n_2 | 1,01 (2) | 0,83 (5) | 0,59 (5) | 1,03 (2) |
| $O(3) (0; 0,5; z)$ | 0,3784 (3) | 0,378 (2) | 0,400 (2) | 0,3795 (2) |
| n_3 | 1,00 (2) | 0,90 (6) | 0,41 (5) ¹⁾ | 1,03 (2) |
| $O(4) (0; 0,5; 0)$ | 0,93 (1) | 0,70 (9) | 0,08 (3) | 0,07 (1) |
| $O(5) (0,5; 0; 0)$ | 0,04 (1) | 0,15 (8) | 0,08 (3) | 0,07 (1) |
| $O(6) (0; 0; 0,5)$ | - 0,01 (2) | - 0,1 (1) | 0,24 (4) | 0,02 (1) |
| Содержание | 1 | 0,13 (2) | 0,26 (3) | 1 |
| χ^2 | 3,0 | 0,8 | 0,8 | 5,0 |
| R_N (%) | 6,1 | 7,3 | 7,3 | 6,6 |

¹⁾ Заполнение хлором четырехкратной позиции (3)

В результате хлорирования атомы кислорода, которые находятся в эквивалентных позициях (2) и (3), статистически замещаются атомами хлора. Содержание хлора в этих позициях в расчёте на формульную единицу составляет 1,6₁ для образца I и 1,76₄ для образца II. При этом в ранее незаселенной позиции (6) появляются атомы кислорода $n_6 = 0,24$ или хлора $n_6 = 0,14$. Если позиции (6) также заселены атомами хлора, то его содержание на формульную единицу составляет 1,8₁ для образца I и 1,87₈ для образца II. Заселенность позиций (1) и эквивалентных позиций (4) и (5) атомами кислорода не изменяется.

Кроме тетрагональной фазы, образуется сильно разупорядоченная ромбическая фаза. Оцененные по уширению рентгеновских линий отклонения средних значений параметров составляют $\Delta a/a \approx \Delta b/b \approx 9 \cdot 10^{-3}$, что сравнимо с разницей соответствующих парамет-

ров в системе O_6 – O_7 . В ромбической фазе наблюдается значительная заселенность позиций (4) атомами кислорода или хлора.

Структурные параметры и заселенность второго исследованного образца не отличаются более чем на три стандартные ошибки. Различие лишь в относительной доле ромбической и тетрагональной фаз: для образца I их отношение составляло 0,50, а для образца II – 0,85.

Вопрос о том, какая фаза, ромбическая или тетрагональная, ответственна за сверхпроводимость, остается открытым, поскольку мы не можем разделить эти фазы. Выбранная модель согласованно учитывает имеющийся набор экспериментальных рентгеновских и нейтронных данных. Однако неожиданность вывода о заселенности кислородных позиций и факт внедрения хлора в решетку Y–Ba–Cu–O настолько существенны, что требуют для подтверждения дополнительных экспериментов на образцах с различным относительным содержанием фаз и хлора.

Авторы считают своим приятным долгом выразить благодарность Г.В.Новикову (Институт экспериментальной минералогии) за плодотворные дискуссии и предоставление рентгенограммы хлорированного образца, В.Ш.Шехтману, С.С.Хасанову и В.Ф.Дегтяревой за рентгеновскую аттестацию образцов, А.М.Кокотину, В.И.Кулакову за помощь в изготовлении образцов.

Литература

1. Осипьян Ю.А., Жариков О.В., Сидоров Н.С. и др. Письма в ЖЭТФ, 1988, **48**, 225.
2. Голосовский И.В., Жарченков В.П., Булкин А.П. и др. Препринт ЛИЯФ № 1374, 1988.
3. Rietveld H.H. J. Appl. Cryst., 1969, **2**, 65.
4. Thomas M.W., Bendall P.J. Acta Cryst. A, 1978, **84**, S851.

Институт физики твердого тела

Академии наук СССР

Ленинградский институт ядерной физики
им. Б.П.Константинова Академии наук СССР

Поступила в редакцию

6 января 1989 г.